

# Implementação de uma FFT com complexidade multiplicativa abaixo do limitante de Heideman-Burrus

P.A.L. Sá de Melo, H.M. de Oliveira

**Abstract**— The computational implementation of a new fast algorithm for computing DFT based on a matrix Laurent series [1] is presented via Simulink™. The arithmetic complexity, expressed by the number of nontrivial real floating-point multiplications, achieves values below the standard Heideman-Burrus bound [2]. The case  $N=16$  is presented in details, requiring merely 12 real multiplications and 101 additions.

**Resumo**— A implementação computacional em plataforma Simulink® de uma nova transformada rápida de Fourier com base em Séries de Laurent matriciais [1] é apresentada. A complexidade aritmética, expressa em multiplicações reais não-triviais, atinge valores inferiores àqueles estabelecidos na cota padrão de Heideman-Burrus [2]. O exemplo  $N=16$  é apresentado detalhadamente, com apenas 12 multiplicações reais e 101 adições.

**Palavras Chave**— algoritmos rápidos, Fourier, FFT, séries de Laurent, cota de Heideman-Burrus.

## I. INTRODUÇÃO

A transformada de Fourier, contínua ou discreta, desempenha um papel muito importante em diversas áreas da Engenharia, principalmente em processamento de sinais.

Este artigo apresenta uma implementação em Simulink®, ferramenta de programação visual do *software* MATLAB®, de um novo algoritmo rápido para o cálculo da Transformada Discreta de Fourier (DFT) [1]. Seja  $N$  o número de amostras no domínio do tempo de um sinal  $v = (v_n)$ ,  $n=0,1,2,\dots,N-1$ . A DFT do sinal  $v$  é dada pela sequência  $V = (V_k)$ , de comprimento  $N$ , no domínio da frequência, expressa por:

$$V_k := \sum_{n=0}^{N-1} v_n \exp\left(-\frac{j2\pi kn}{N}\right). \quad (1)$$

Esta transformada pode ser calculada através de algoritmos rápidos, tais como o algoritmo Cooley-Tukey, e o algoritmo Winograd-Fourier [3].

Em 1986, Heideman investigou a complexidade aritmética da DFT e deduziu cotas inferiores sobre o número de multiplicações complexas necessárias para calculá-la [2]. Para potências de 2, esta cota é simplificada para:

$$\mu_{DFT}(N) = 4N - 2 \log_2^2 N - 2 \log_2 N - 4. \quad (2)$$

## II. A DFT COMO UMA SÉRIE DE LAURENT MATRICIAL

de Oliveira, Campello de Souza e de Oliveira propõem, em um artigo submetido neste mesmo Simpósio [1], um

algoritmo para cálculo da DFT com base na decomposição da matriz da DFT em série matricial de Laurent [4].

Define-se inicialmente uma matriz  $M := (k \cdot n \pmod{N})$ . Define-se também um operador  $\chi_l$  sobre uma matriz  $N \times N$  para  $l=0,1,2,\dots,N-1$ , que resulta numa matriz cujos elementos são  $(\delta_{l,m_{k,n}})$ , em que  $\delta$  denota o símbolo de Kronecker. Desta forma, são construídas classes  $C_m$  e as respectivas matrizes  $M_m$  expressas por:

$$C_m := \{x \in Z_N \mid 4x \equiv 4m \pmod{N}\};$$

$$M_m = 1 \cdot \chi_m(M) - j \cdot \chi_{m+N/4}(M) - 1 \cdot \chi_{m+N/2}(M) + j \cdot \chi_{m+3N/4}(M),$$

$$m = -\left\lfloor \left(\frac{N}{4} - 1\right) / 2 \right\rfloor, \dots, -2, -1, 0, +1, +2, \dots, \left\lceil \left(\frac{N}{4} - 1\right) / 2 \right\rceil$$

A matriz da transformada de Fourier pode assim ser avaliada como [1]:

$$\Re DFT = \left\{ \Re(M_0) + \sum_{m=1}^{(N/4-1)/2} \Re(M_m + M_{-m}) \cos \frac{2\pi m}{N} \right\}$$

$$+ \left\{ \sum_{k=1}^{(N/4-1)/2} \Im(M_m - M_{-m}) \sin \frac{2\pi m}{N} \right\}, \quad (3a)$$

$$\Im DFT = \left\{ \Im(M_0) + \sum_{m=1}^{(N/4-1)/2} \Im(M_m + M_{-m}) \cos \frac{2\pi m}{N} \right\}$$

$$- \left\{ \sum_{k=1}^{(N/4-1)/2} \Re(M_m - M_{-m}) \sin \frac{2\pi m}{N} \right\}. \quad (3b)$$

## III. IMPLEMENTAÇÃO EM SIMULINK® PARA $N=16$

O algoritmo apresentado foi implementado na plataforma Simulink® para  $N=16$ . Seguindo os passos do algoritmo, constróem-se as seguintes classes:

$$C_0 = \{0,4,8,12\} \quad C_1 = \{1,5,9,13\}$$

$$C_{-1} = \{15,3,7,11\} \quad C_2 = \{2,6,10,14\}.$$

A partir destas classes, obtêm-se as seguintes matrizes escalonadas, em que *rref* indica a forma escalonada padrão,  $0_n$  indica um bloco de  $n$  zeros, e “;” indica uma separação de linhas:

$$\begin{aligned} \text{rref}[\Re(M_0)] &= \\ &\{1, 0_{15}; 0, 1, 0, 1, 0, 1, 0, 1, 0, 1, 0, 1, 0, 1, 0, 1\}; \\ &\{0_2, 1, 0_3, 1, 0_3, 1, 0_3, 1, 0; 0_4, 1, 0_7, 1, 0_3\} \\ \text{rref}[\Re(M_1 + M_{-1})] &= \\ &\{0, 1, 0_5, -1, 0, -1, 0_5, 1; 0_3, 1, 0, -1, 0_5, -1, 0, 1, 0_2\} \\ \text{rref}[\Re(M_2)] &= \\ &\{0, 1, 0_3, -1, 0_3, 1, 0_3, -1, 0_2; 0_2, 1, 0_7, -1, 0_5\}; \\ &\{0_3, 1, 0_3, -1, 0_3, 1, 0_3, -1; 0_6, 1, 0_7, -1, 0\} \\ \text{rref}[\Im(M_1 - M_{-1})] &= \\ &\{0, 1, 0_5, -1, 0, -1, 0_5, 1; 0_3, 1, 0, -1, 0_5, -1, 0, 1, 0_2\} \\ \text{rref}[\Im(M_2)] &= \\ &\{0, 1, 0_3, -1, 0_3, 1, 0_3, -1, 0_2; 0_2, 1, 0_7, -1, 0_5\}. \end{aligned}$$

As componentes do vetor de entrada são combinadas como indicado pelas linhas das matrizes escalonadas e ponderadas de acordo com a equação 3 (c.f. Figura 1.a). Deve-se então encontrar, para cada linha das matrizes da série, quais combinações lineares das linhas das matrizes escalonadas resultam nessas linhas. Estas combinações estão expostas na Figura 1.b, para o cálculo da parte real da DFT.

Tabela 1. Complexidade aditiva do algoritmo FFT baseado em série matriciais de Laurent para  $N=16$ .

Número de adições reais ponto-flutuante	
Combinações com base nas matrizes escalonadas	42
Avaliação das componentes reais	39
Avaliação das componentes imaginárias	20
Total	101

A complexidade aditiva para o algoritmo apresentado é  $\alpha(16)=101$ , podendo ainda ser reduzida através do aproveitamento de simetrias adicionais que surgem. A complexidade multiplicativa é  $\mu(16)=12$ , valor abaixo do limitante de Heideman-Burrus para comprimento 16, que é 20 (equação 2). A complexidade obtida é inferior à calculada pela cota em oito multiplicações. Isto se justifica devido à presença de componentes do espectro nas frequências de  $\pm\pi/4$  e  $\pm 3\pi/4$ , cujas funções seno e cosseno são idênticas, reduzindo o número de multiplicações em quatro unidades, e também devido ao surgimento de linhas idênticas nas matrizes escalonadas no cálculo da parte real e parte imaginária da transformada. A extensão do procedimento para outros comprimentos pode ser vista no artigo companheiro [1].

#### IV. CONCLUSÕES

Um novo algoritmo rápido (FFT) para calcular a Transformada Discreta de Fourier (DFT) foi implementado em Simulink®, descrevendo as etapas e corroborando que é

possível atingir um número de multiplicações ponto-flutuante menor do que aquele preconizado pela cota inferior de Heideman. O procedimento é sistemático e fácil de reproduzir, permitindo manipular com maior variedade de comprimentos de bloco do que o tradicional radix-2 [3]. Comenta-se sobre argumentos explorados na diminuição da complexidade, os quais são válidos para outros comprimentos de blocos. Mas o objetivo específico é validar o algoritmo [1] proposto, mostrando que são possíveis implementações de complexidade abaixo do limitante. As simetrias existentes indicam que há muito a se fazer na concepção de *hardware* dedicados. Esta nova FFT é de fácil implementação, seja em DSP ou circuitos integrados, sendo atrativo explorar implementações em FPGA, dado o paralelo entre Simulink e FPGA.

#### AGRADECIMENTOS

Este trabalho recebeu apoio financeiro parcial do Conselho Nacional de Desenvolvimento Científico e Tecnológico (CNPq).

#### REFERÊNCIAS

- [1] de Oliveira, H.M., Campello de Souza, R.M., and de Oliveira R.C., A Matrix Laurent Series-based Fast Fourier Transform for Blocklengths  $N \equiv 4 \pmod{8}$ , *XXVII Simpósio Brasileiro de Telecomunicações - SBTr*, Blumenau, SC, 2009 companion paper (submitted).
- [2] Heideman, M.T., Burrus, C.S., On the Number of Multiplications Necessary to Compute a length- $2^n$  DFT, *IEEE Trans. Acoust., Speech, Signal Processing*, vol.34, pp.91-95, 1986.
- [3] Blahut, R. E., *Fast Algorithms for Digital Signal Processing*, Addison-Wesley, 1985.
- [4] Adel-Ghaffar, K.A.S., Long Division from Laurent Series Matrices and the Optimal Assignment Problem, *Linear Algebra and its Application*, vol.280, No.2-3, Sept pp.189-197, 1998

#### APÊNDICE

O código fonte para a implementação *simulink* encontra-se disponível (*freeware*) na URL:

[http://www2.ee.ufpe.br/codec/Procedure\\_FFT.htm](http://www2.ee.ufpe.br/codec/Procedure_FFT.htm)

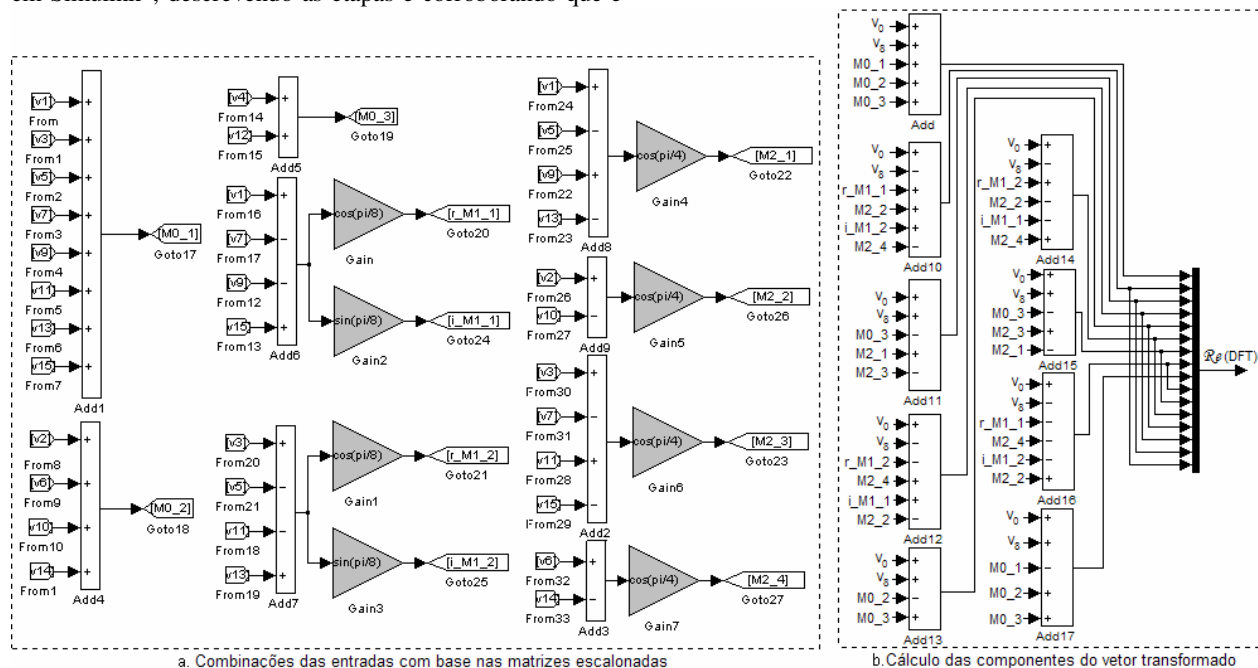


Figura 1. Implementação em Simulink do cálculo da parte real da DFT ( $N=16$ ) com uso do algoritmo FFT apresentado. Os blocos triangulares (Fig.1.b) destacam as 8 multiplicações reais, que, somadas com outras 4 do cálculo da parte imaginária, resulta em um total de 12 multiplicações reais ponto-flutuante, número inferior às 20 multiplicações da cota de Heideman-Burrus para  $N=16$ .